

Figura 15.1.1. Localización, planta e imatge del procés d'excavació del jaciment.

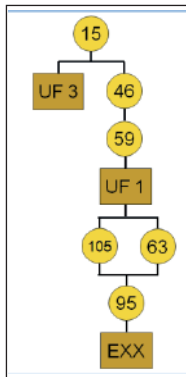


Figura 15.1.2. Matrix-Harris del conjunto de unidades estratigráficas con datación de ^{14}C .

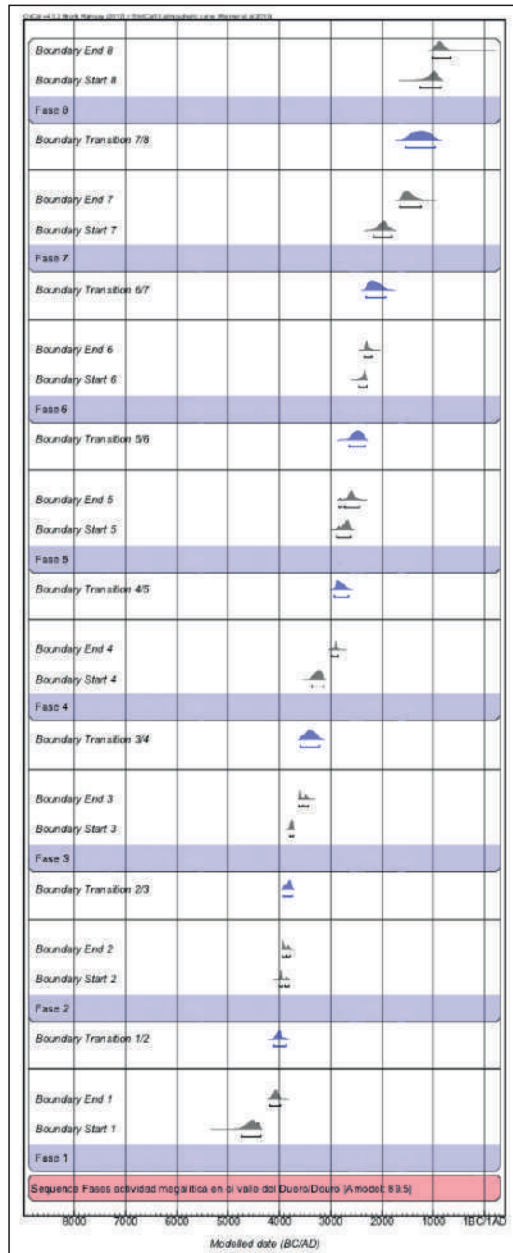


Figura 15.3.1. Gráfico resumido del modelo bayesiano de tipo *sequential phase*, con el intervalo cronológico estimado para los límites de inicio y fin de cada fase (en gris) y para la transición entre ellas (en sombreado).

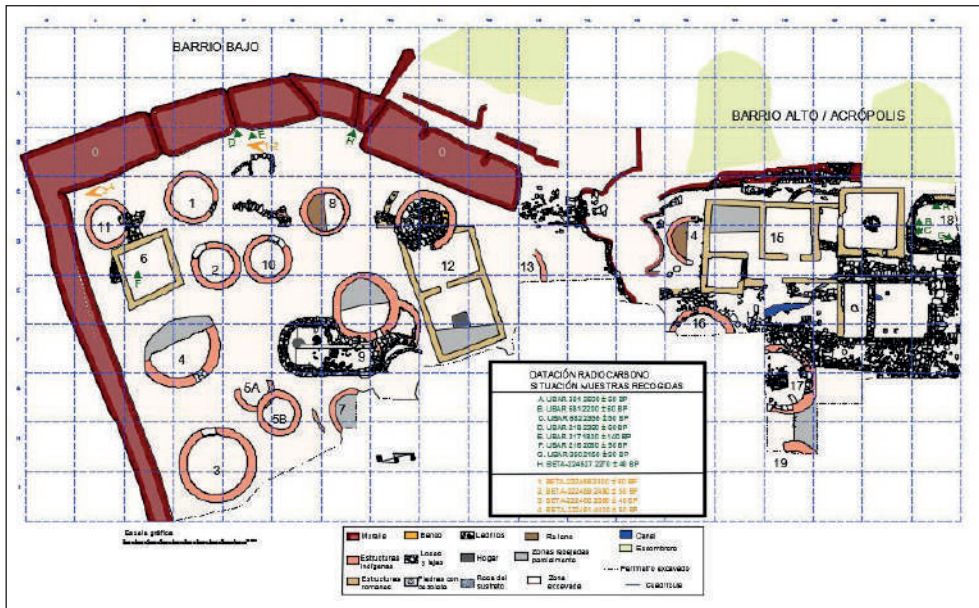


Figura 15.4.2. Plano del castro de San Chuis con indicación de la posición de las muestras de las que se han obtenido las fechas radiocarbónicas.

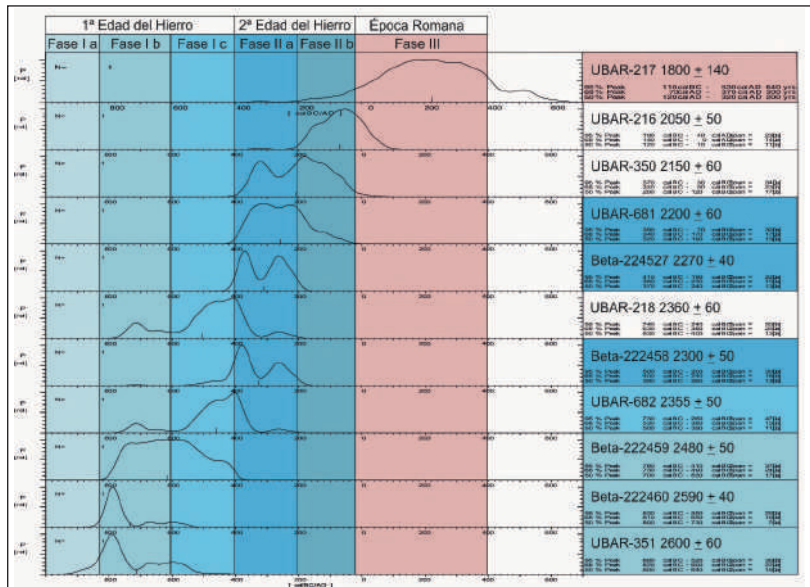


Figura 15.4.3. Curvas de probabilidad de las fechas del castro de San Chuis calibradas con la curva de calibración IntCal 13 mediante el programa CalPal versión 2016. La figura muestra las fases de ocupación del castro con indicación de las fases de la Edad del Hierro de la zona cantábrica

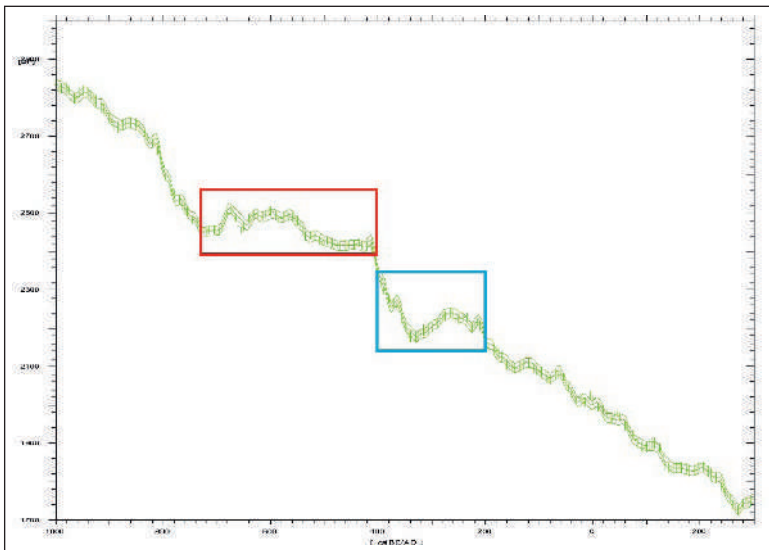


Figura 15.4.4. Porción de la curva de calibración IntCal 13 que muestra la llamada catástrofe de la Edad del Hierro o *Hallstatt plateau* que afecta plenamente a la Edad del Hierro.